

Моделирование и мониторинг электромагнитного окружения Земли

в контексте глобальной электрической цепи

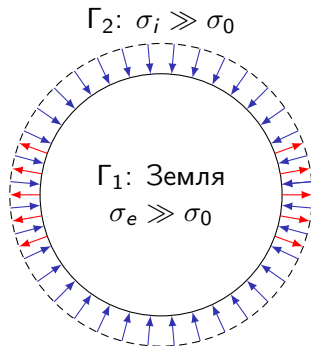
Ф. Г. Сарафанов¹

Коллектив: Н. В. Ильин, Н. Н. Слюняев, А. А. Евтушенко, Е. А. Мареев,
Ю. В. Шлюгаев, М. В. Шаталина, А. В. Волкова, А. А. Долинин

¹Институт прикладной физики им. А. В. Гапонова-Грехова РАН

Глобальная цепь постоянного тока — DC GEC

- 1 Атмосфера обладает проводимостью, зависящей от высоты $\sigma(z) \sim \exp\{z/H\}$
- 2 Источниками стороннего тока \mathbf{j}_s являются электрически активные облака
- 3 Источники «включены» всегда, но их активность модулируется погодными-климатическими условиями
- 4 Поверхность Земли и нижняя ионосфера — хорошие проводники, на которых замыкаются **токи зарядки** (токи «плохой» погоды) и **омические токи** (токи «хорошей» погоды)

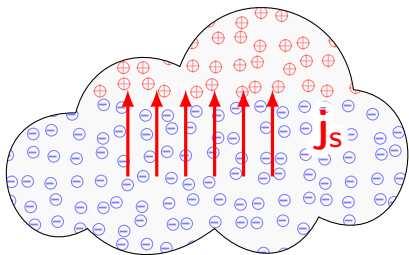


$$\operatorname{div}(\sigma \operatorname{grad} \varphi) = \operatorname{div} \mathbf{j}_s$$

$$\oint_{\Gamma_1} \sigma \operatorname{grad} \varphi \cdot \mathbf{n} ds = \oint_{\Gamma_1} \mathbf{j}_s \cdot \mathbf{n} ds$$

$$\varphi|_{\Gamma_1} = 0, \quad \varphi|_{\Gamma_2} = V_{\text{ion}}$$

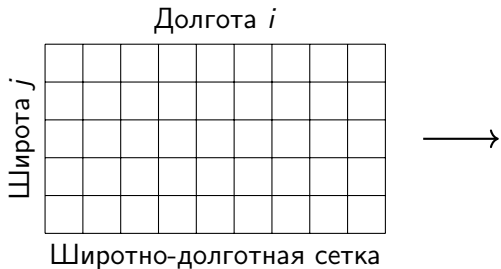
Реализация расчёта токов



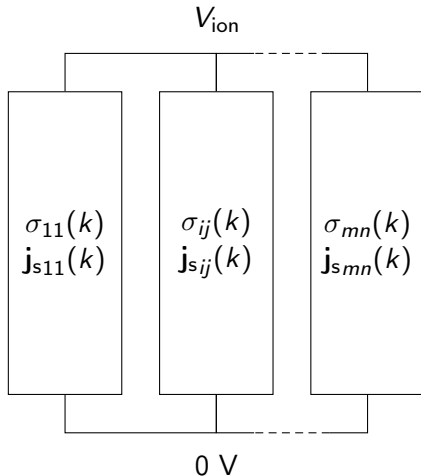
- 1 Желателен расчёт электродинамики на мелких сетках с учётом микрофизики облака
- 2 В климатических моделях такой расчёт пока невозможен

- 3 На крупных сетках вынуждены использовать «прокси»-параметры для подсеточной параметризации
- 4 Поиск прокси: перебор, машинное обучение и т.п.
- 5 Из физических соображений построено несколько параметризаций. Мы используем постоянную плотность тока, но площадь источников определяем как $f(\text{CAPE}, P, \text{PW})$

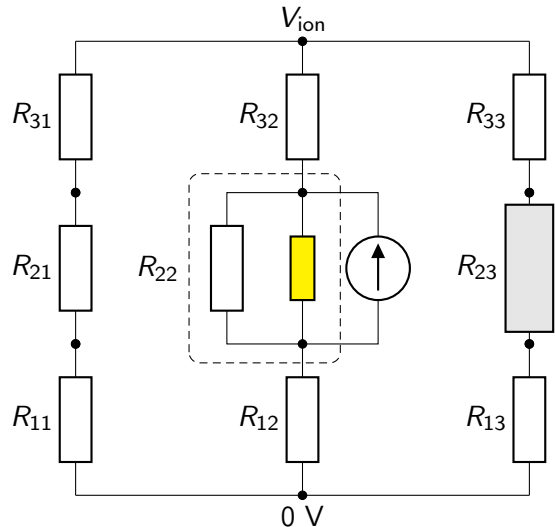
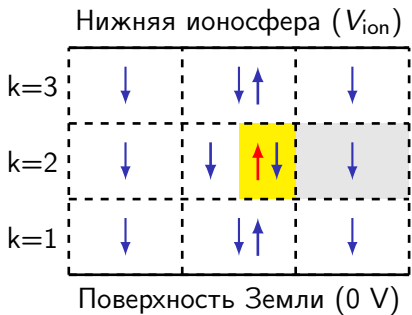
Столбчатая модель DC GEC



- 1 Пренебрегаем горизонтальными токами (справедливо на масштабах $\gtrsim 100$ км)
- 2 Рассматриваем квазистационарную систему (справедливо для времён $\gtrsim 10$ мин)



Ячейки с облаками различных типов



- 1 Омический ток есть во всех ячейках
- 2 Проводимость в грозовых облаках может быть выше, а в электрически пассивных — ниже

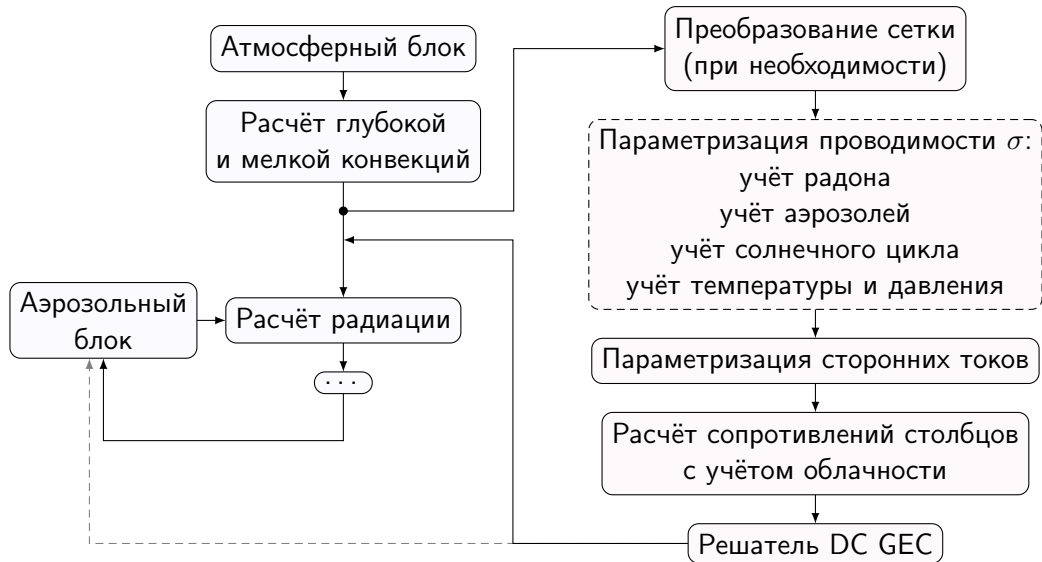
Ионосферный потенциал в столбчатой модели

$$V_{\text{ion}} = \sum_{i,j=1}^{n,m} \left[\frac{S_{ij} \int_0^{z_{\text{max}}} \frac{\mathbf{j}_{sij}(z) \cdot \mathbf{n} \, dz}{\sigma_{ij}(z)}}{\int_0^{z_{\text{max}}} \frac{dz}{\sigma_{ij}(z)}} \right] / \sum_{i,j=1}^{n,m} \left[\frac{S_{ij}}{\int_0^{z_{\text{max}}} \frac{dz}{\sigma_{ij}(z)}} \right]$$

I_{ij} (points to the numerator of the first fraction)
 R_{ij}^{-1} (points to the denominator of the second fraction)

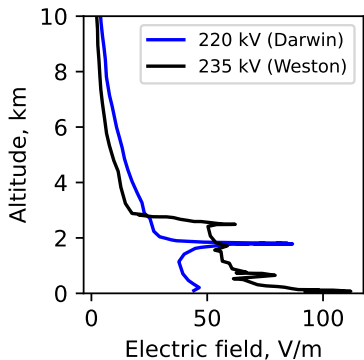
$$U_{ij} = \int_0^{z_{\text{max}}} \frac{\mathbf{j}_{sij}(z) \cdot \mathbf{n} \, dz}{\sigma_{ij}(z)} \Rightarrow I_{ij} = \frac{U_{ij}}{R_{ij}}, \quad V_{ij} = I_{ij} / \sum_{i,j=1}^{n,m} \frac{1}{R_{ij}}, \quad V_{\text{ion}} = \sum_{i,j=1}^{n,m} V_{ij}$$

Интеграция в климатические модели



Измерения ионосферного потенциала

Вертикальный профиль АЭП



$$E_z(z) \approx E_0 \cdot \exp\left(-\frac{z}{H}\right)$$

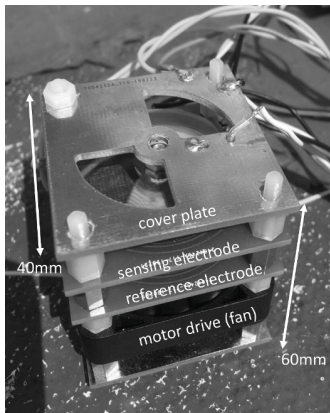
- ▶ Самолётные измерения профиля АЭП:
И. М. Имянитов (1957),
R. Markson (1976, 1999, 2007) (см. рисунок)
- ▶ Баллонные измерения профиля АЭП:
Т. Ogawa (1966),
Н. J. Fisher, R. P. Mühleisen (1974)

Общая методика получения значения ионосферного потенциала — измерение профиля АЭП хорошей погоды и последующее интегрирование

$$V_i = \int_0^{z_{\max}} E_z^{\text{meas}} dz + \int_{z_{\max}}^{z_{\text{ion}}} E_z^{\text{approx}} dz$$

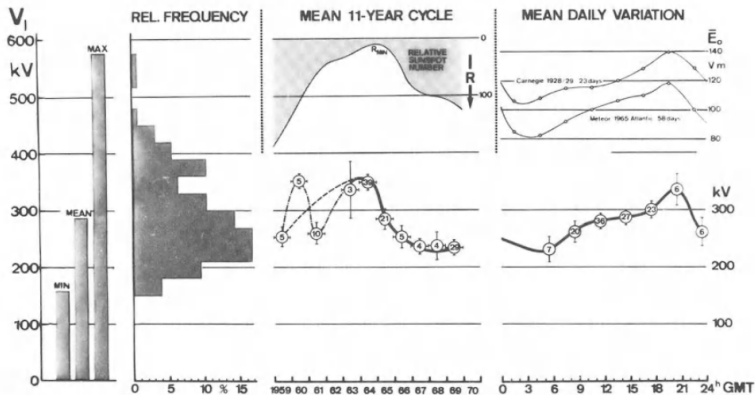
Измерения ионосферного потенциала (ИП)

Миниатюрный EFM



Прототип легковесного датчика для метеозондирования
R. G. Harrison (2020)

Статистика значений ионосферного потенциала

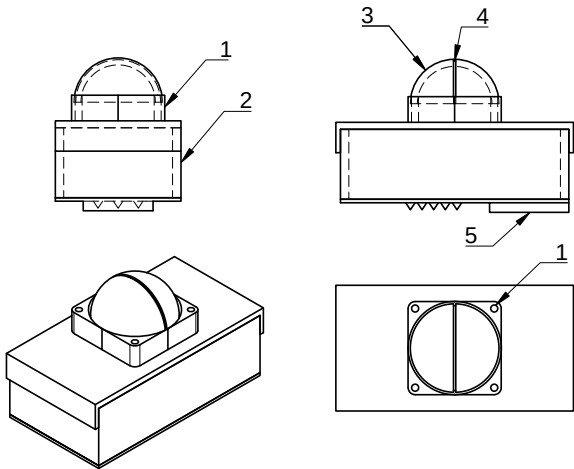


Данные по серии из 356 запусков метеозондов с датчиком электрического поля в Вайссенау, Германия
R. P. Mühleisen (ICAE, 1974)

Создание датчика для измерения ИП

- ▶ Чувствительность не менее 1 В/м
- ▶ Работа от одного элемента питания не менее 3 часов
- ▶ Вес не более 250 г
- ▶ Напряжение питания 3 В
- ▶ Низкая стоимость

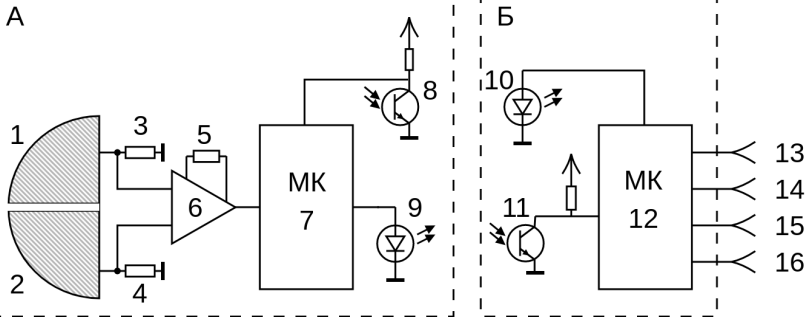
Чертёж датчика в сборе



- 1 — электромотор, $f_{вр}=100$ об/сек
- 2 — батарейный отсек, объединённый с приёмопередающим модулем
- 3 — один из двух электродов вращающегося диполя
- 4 — диэлектрический зазор между электродами
- 5 — крепление к метеозонду и коннектор UART приёмопередающего модуля

Под электромотором **1** размещены ИК-светодиод для синхронного детектирования и модуль IRDA для приёма оцифрованного измеряемого сигнала, управляемые приёмопередающим модулем на основе МК **TI MSP430G2553**

Принципиальная схема датчика



Вращающийся диполь А: 1,2 — электроды диполя, 3,4,5,6 — сверхчувствительный инструментальный усилитель с обвязкой, 7 — МК MSP430 с интегрированным 24-bit Σ/Δ АЦП, 8 — детектор полного оборота, 9 — передающий ИК-светодиод*

База датчика Б: 10 — постоянно работающий ИК-светодиод, 11 — приёмный фототранзистор*, 12 — МК MSP430, 13-16 — TTL подключение к зонду Vaisala

*В последней ревизии 10, 11 заменены на модули IRDA

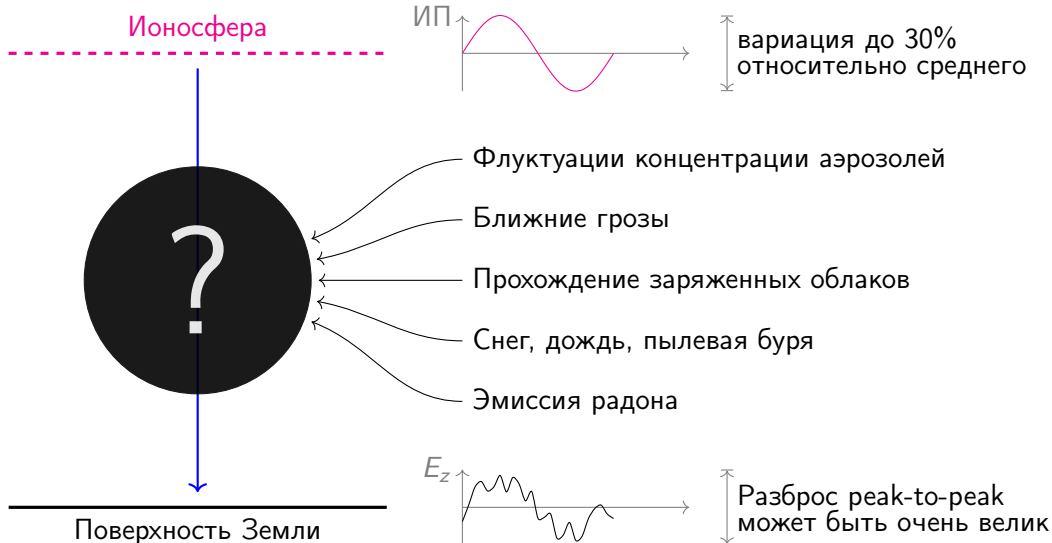
Работа над датчиком продолжается



Слева направо: Ф. Г. Сарафанов (в руках датчик), А. В. Волкова, Н. В. Ильин, А. А. Долинин, Д. И. Кульшин



Приземное электрическое поле $E_z|_{z \approx 0}$



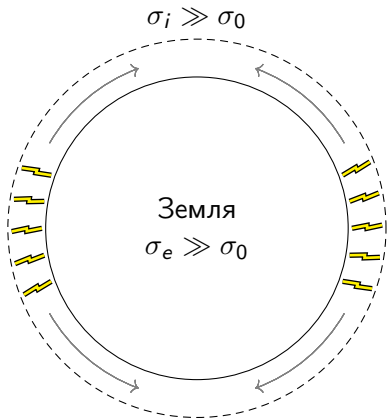
Задача №1: суточная вариация E_z

На сайте (eee.ipfran.ru/sarov24) доступны методическая литература по теории ГЭЦ и измерениям электрического поля хорошей погоды, а также архив данных измерений E_z на антарктической станции Восток (2006-2019).

Отберите из данных дни, соответствующие условиям хорошей погоды либо по метеокритериям (отсутствие облаков и осадков, ветер не более 5 м/с), используя общедоступные метеоархивы (например, rp5.ru), либо по значениям поля (в сутках есть измерения за все 24 часовых интервала, в каждом интервале поле лежит в пределах 0...1000 В/м, разброс peak-to-peak за сутки не превышает 150% от среднедневного значения).

Постройте среднюю за все время наблюдений суточную вариацию отобранных значений электрического поля. Проверьте, сохраняется ли вариация при выборе различных временных периодов из исходного ряда (например, 2006-2008 vs 2013-2015). Сравните полученную вариацию с кривой Карнеги [см. [R.G. Harrison](#), «The Carnegie Curve»].

Глобальная цепь переменного тока — AC GEC



- 1** В резонаторе Земля-Ионосфера возможны поперечные и продольные (Шумановские) резонансы
- 2** Возбуждение мод в резонаторе происходит за счёт глобальной молниевой активности
- 3** Резонансы существуют и без проводимости атмосферы
- 4** Реалистичные значения резонансных частот возможны только при учёте проводимости
- 5** Обнаружены эффекты и исследуется механизм воздействия резонансных частот (2 гармоника ШР) на биологические объекты

Математические аспекты задачи АС ГЕС

Комплексная диэлектрическая проницаемость:

$$\varepsilon(\mathbf{r}, \omega) = 1 + \frac{4\pi\sigma(\mathbf{r})}{i\omega}$$

Уравнения на частоте ω

$$\operatorname{rot} \mathbf{E}^\omega = -\frac{i\omega}{c} \mathbf{H}^\omega$$

$$\operatorname{rot} \mathbf{H}^\omega = \frac{i\omega\varepsilon}{c} \mathbf{E}^\omega + \frac{4\pi}{c} \mathbf{J}^\omega$$

$$\mathbf{E}_\tau^\omega|_{\Gamma_1} = 0, \quad \mathbf{E}_\tau^\omega|_{\Gamma_2} = 0$$

Сторонний ток молниевых разрядов, дополняющий ток проводимости в законе Ома:

$$\mathbf{J}^\omega(\mathbf{r}, \omega) = \int_{-\infty}^{\infty} \mathbf{J}(\mathbf{r}, t) e^{-i\omega t} dt$$

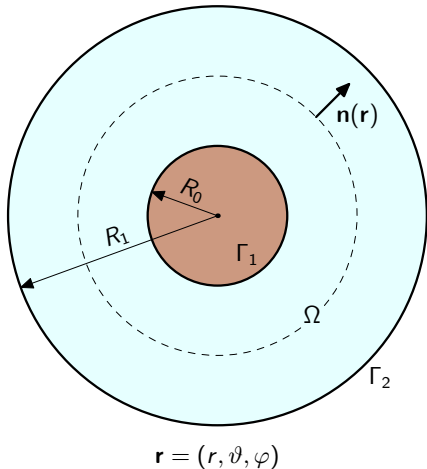
Случай проводящей среды ($\sigma(\mathbf{r}) \neq 0$):

- ▶ Задача имеет единственное решение $(\mathbf{E}^\omega(\mathbf{r}, \omega), \mathbf{H}^\omega(\mathbf{r}, \omega))$ при заданной проводимости $\sigma(\mathbf{r})$ и заданном источнике $\mathbf{J}^\omega(\mathbf{r}, \omega)$

Случай непроводящей среды ($\sigma(\mathbf{r}) \equiv 0, \varepsilon(\mathbf{r}, \omega) \equiv 1$):

- ▶ Есть набор резонансных частот $\{\omega_n\}$ и собственных мод $\{(\mathbf{E}_{nk}^\omega(\mathbf{r}, \omega), \mathbf{H}_{nk}^\omega(\mathbf{r}, \omega))\}$
- ▶ На нерезонансных частотах задача имеет единственное решение $(\mathbf{E}^\omega(\mathbf{r}, \omega), \mathbf{H}^\omega(\mathbf{r}, \omega))$ при заданном источнике $\mathbf{J}^\omega(\mathbf{r}, \omega)$
- ▶ На резонансной частоте ω_n решение определено с точностью до комбинации собственных мод, отвечающих этой частоте

Уравнения в сферических координатах



Уравнения для компонент полей

$$\operatorname{div}_{\perp} (\mathbf{n} \times \mathbf{E}_{\perp}^{\omega}) = \frac{i\omega}{c} H_r^{\omega}$$

$$\frac{1}{r} \frac{\partial (r \mathbf{E}_{\perp}^{\omega})}{\partial r} - \operatorname{grad}_{\perp} E_r^{\omega} = \frac{i\omega}{c} \mathbf{n} \times \mathbf{H}_{\perp}^{\omega}$$

$$\operatorname{div}_{\perp} (\mathbf{n} \times \mathbf{H}_{\perp}^{\omega}) = -\frac{i\omega \varepsilon}{c} E_r^{\omega} - \frac{4\pi}{c} J_r^{\omega}$$

$$\frac{1}{r} \frac{\partial (r \mathbf{H}_{\perp}^{\omega})}{\partial r} - \operatorname{grad}_{\perp} H_r^{\omega} = -\frac{i\omega \varepsilon}{c} \mathbf{n} \times \mathbf{E}_{\perp}^{\omega} - \frac{4\pi}{c} \mathbf{n} \times \mathbf{J}_{\perp}^{\omega}$$

$$\mathbf{E}_{\perp}^{\omega}|_{r=R_0} = 0, \quad \mathbf{E}_{\perp}^{\omega}|_{r=R_1} = 0$$

- ▶ В случае $\sigma(\mathbf{r}) = \sigma(r)$ задачу можно представить в виде суперпозиции двух независимых подзадач
- ▶ Каждая из подзадач может быть описана в терминах одной потенциальной функции (U или V)
- ▶ В основе — разложение поперечных компонент полей на безвихревую и бездивергентную части

Уравнения для потенциальных функций

Поперечную часть стороннего тока можно представить в виде $\mathbf{J}_\perp^\omega = \text{grad}_\perp \psi + \mathbf{n} \times \text{grad}_\perp \chi$

Задача для функции $U(\mathbf{r}, \omega)$

$$\frac{\partial}{\partial r} \left(\frac{1}{\varepsilon} \frac{\partial U}{\partial r} \right) + \frac{1}{\varepsilon} \Delta_\perp U + \frac{\omega^2}{c^2} U = -\frac{4\pi}{i\omega\varepsilon} J_r^\omega + \frac{4\pi}{i\omega} \frac{\partial}{\partial r} \left(\frac{\psi}{\varepsilon} \right)$$

$$\frac{\partial U}{\partial r} \Big|_{r=R_0} = \frac{4\pi}{i\omega} \psi|_{r=R_0}, \quad \frac{\partial U}{\partial r} \Big|_{r=R_1} = \frac{4\pi}{i\omega} \psi|_{r=R_1} + \text{const}$$

Задача для функции $V(\mathbf{r}, \omega)$

$$\frac{\partial^2 V}{\partial r^2} + \Delta_\perp V + \frac{\omega^2 \varepsilon}{c^2} V = \frac{4\pi}{c} \chi$$

$$V|_{r=R_0} = 0, \quad V|_{r=R_1} = \text{const}$$

Компоненты полей

$$\mathbf{E}_\perp^\omega = \frac{1}{\varepsilon} \text{grad}_\perp \frac{\partial U}{\partial r} + \frac{i\omega}{c} \mathbf{n} \times \text{grad}_\perp V - \frac{4\pi}{i\omega\varepsilon} \text{grad}_\perp \psi$$

$$E_r^\omega = -\frac{1}{\varepsilon} \Delta_\perp U - \frac{4\pi}{i\omega\varepsilon} J_r^\omega$$

$$\mathbf{H}_\perp^\omega = -\frac{i\omega}{c} \mathbf{n} \times \text{grad}_\perp U + \text{grad}_\perp \frac{\partial V}{\partial r}$$

$$H_r^\omega = -\Delta_\perp V$$

Задачи для функций $U(\mathbf{r}, \omega)$ и $V(\mathbf{r}, \omega)$ можно решать методом разделения переменных, раскладывая всё в ряды по сферическим функциям и решая уравнения для коэффициентов

Задача с чисто радиальным сторонним током

В задаче о колебаниях в шумановском частотном диапазоне с чисто радиальным сторонним током ($\mathbf{J}_{\perp}^{\omega} = 0$) достаточно одной потенциальной функции $U(\mathbf{r}, \omega)$

Задача для функции $U(\mathbf{r}, \omega)$

$$\frac{\partial}{\partial r} \left(\frac{1}{\varepsilon} \frac{\partial U}{\partial r} \right) + \frac{1}{\varepsilon} \Delta_{\perp} U + \frac{\omega^2}{c^2} U = -\frac{4\pi}{i\omega\varepsilon} J_r^{\omega}$$
$$\left. \frac{\partial U}{\partial r} \right|_{r=R_0} = 0, \quad \left. \frac{\partial U}{\partial r} \right|_{r=R_1} = 0$$

Компоненты полей

$$\mathbf{E}_{\perp}^{\omega} = \frac{1}{\varepsilon} \text{grad}_{\perp} \frac{\partial U}{\partial r}, \quad E_r^{\omega} = -\frac{1}{\varepsilon} \Delta_{\perp} U - \frac{4\pi}{i\omega\varepsilon} J_r^{\omega}$$
$$\mathbf{H}_{\perp}^{\omega} = -\frac{i\omega}{c} \mathbf{n} \times \text{grad}_{\perp} U, \quad H_r^{\omega} = 0$$

Решение методом разделения переменных: $U(r, \vartheta, \varphi, \omega) = \sum_{l,m} R_{lm}(r, \omega) Y_l^m(\vartheta, \varphi)$

Задача для функции $R_{lm}(r, \omega)$

$$\frac{d}{dr} \left(\frac{1}{\varepsilon} \frac{dR_{lm}}{dr} \right) + \left(\frac{\omega^2}{c^2} - \frac{l(l+1)}{\varepsilon r^2} \right) R_{lm} = J_{lm}$$
$$\left. \frac{dR_{lm}}{dr} \right|_{r=R_0} = 0, \quad \left. \frac{dR_{lm}}{dr} \right|_{r=R_1} = 0$$

$$\varepsilon(r, \omega) = 1 + \frac{4\pi\sigma(r)}{i\omega}$$
$$J_{lm}(r, \omega) = - \int_0^{2\pi} \int_0^{\pi} \frac{4\pi J_r^{\omega}(r, \vartheta, \varphi, \omega) \overline{Y_l^m}(\vartheta, \varphi)}{i\omega\varepsilon(r, \omega)} \sin \vartheta d\vartheta d\varphi$$

Дальнейшее упрощение описания источников

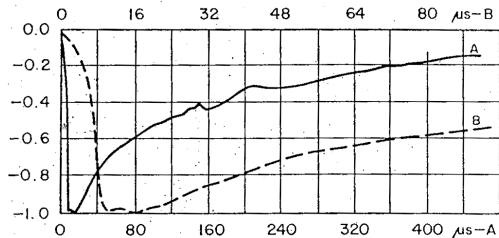
- ▶ Молниевые разряды описываются линейными радиальными токами (с помощью дельта-функции по ϑ и φ)
- ▶ Линейные радиальные токи заменяются на точечные токовые диполи соответствующей величины
- ▶ Характерный вертикальный масштаб L предполагается одинаковым для всех молниевых разрядов
- ▶ Соотношение $L \ll R_1 - R_0$ позволяет приближённо перенести источники в граничные условия

j -ый молниевый разряд происходит в точке с координатами (ϑ_j, φ_j) и описывается осциллограммой тока возвратного удара $I_j(t)$ с фурье-образом $I_j^\omega(\omega)$

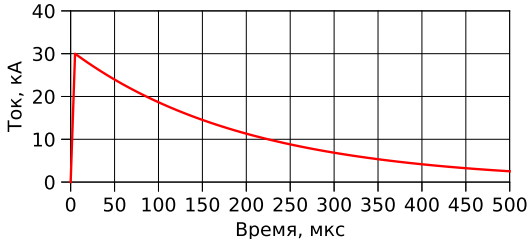
Задача для функции $R_{lm}(r, \omega)$

$$\frac{d}{dr} \left(\frac{1}{\varepsilon} \frac{dR_{lm}}{dr} \right) + \left(\frac{\omega^2}{c^2} - \frac{l(l+1)}{\varepsilon r^2} \right) R_{lm} = 0$$
$$\left. \frac{dR_{lm}}{dr} \right|_{r=R_0} = -\frac{4\pi L}{i\omega R_0^2} \sum_j I_j^\omega(\omega) \overline{Y_l^m}(\vartheta_j, \varphi_j), \quad \left. \frac{dR_{lm}}{dr} \right|_{r=R_1} = 0$$

Параметризация тока молниевых разрядов



(Berger et al., 1975)



j -ый молниевый разряд
происходит в момент времени t_j

$$I_j(t) = \begin{cases} 0, & t \leq t_j \\ I_0^{(j)} \frac{t - t_j}{\tau_1}, & t_j < t \leq t_j + \tau_1 \\ I_0^{(j)} \exp\left(-\frac{t - t_j - \tau_1}{\tau_2}\right), & t > t_j + \tau_1 \end{cases}$$



$$I_j^\omega(\omega) = I_0^{(j)} e^{-i\omega t_j} \times \left[-\frac{1}{\omega^2 \tau_1} + e^{-i\omega \tau_1} \left(\frac{1 + i\omega \tau_1}{\omega^2 \tau_1} + \frac{\tau_2}{1 + i\omega \tau_2} \right) \right]$$

Далее используются значения
 $\tau_1 = 5 \text{ мкс}$ и $\tau_2 = 200 \text{ мкс}$

Схема модели ГЭЦ переменного тока

Проводимость $\sigma(r)$

$$\varepsilon(r, \omega) = 1 + \frac{4\pi\sigma(r)}{i\omega}$$

Параметры разрядов $\vartheta_j, \varphi_j, t_j, I_0^{(j)}$

$$I_j^\omega(\omega) = I_0^{(j)} e^{-i\omega t_j} \left[-\frac{1}{\omega^2 \tau_1} + e^{-i\omega \tau_1} \left(\frac{1 + i\omega \tau_1}{\omega^2 \tau_1} + \frac{\tau_2}{1 + i\omega \tau_2} \right) \right]$$

Задача Коши для $T_l(r, \omega)$:

$$\frac{d}{dr} \left(\frac{1}{\varepsilon} \frac{dT_l}{dr} \right) + \left(\frac{\omega^2}{c^2} - \frac{l(l+1)}{\varepsilon r^2} \right) T_l = 0$$

$$T_l|_{r=R_1} = 1, \quad \left. \frac{dT_l}{dr} \right|_{r=R_1} = 0$$

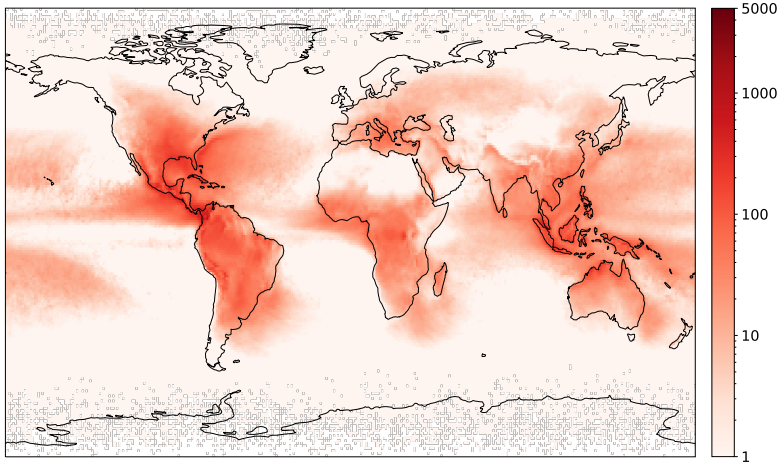
$$R_{lm}(r, \omega) = -\frac{4\pi L T_l(r, \omega)}{i\omega R_0^2 \frac{dT_l}{dr}(R_0, \omega)} \times \sum_j I_j^\omega(\omega) \overline{Y_l^m}(\vartheta_j, \varphi_j)$$

$$E_r^\omega(r, \vartheta, \varphi, \omega) = \sum_{l,m} \frac{l(l+1)}{\varepsilon(r, \omega) r^2} R_{lm}(r, \omega) Y_l^m(\vartheta, \varphi), \text{ аналогично для других компонент полей}$$

World Wide Lightning Location Network

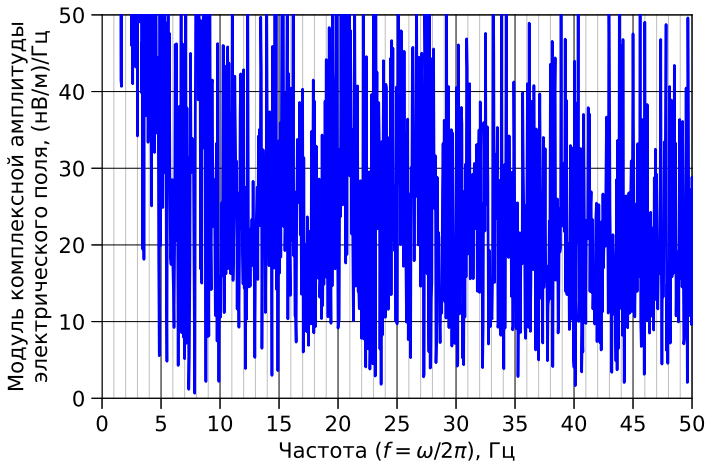
Основные параметры
молниевых вспышек,
определяемые WWLLN:

- ▶ Координаты разряда (широта и долгота)
- ▶ Время разряда
- ▶ Энергия разряда (позволяет оценить пиковый ток)



Количество вспышек за день в ячейках сетки $1^\circ \times 1^\circ$
по данным WWLLN (среднее за 2015–2021 годы)

Расчёт резонансов по данным WWLLN

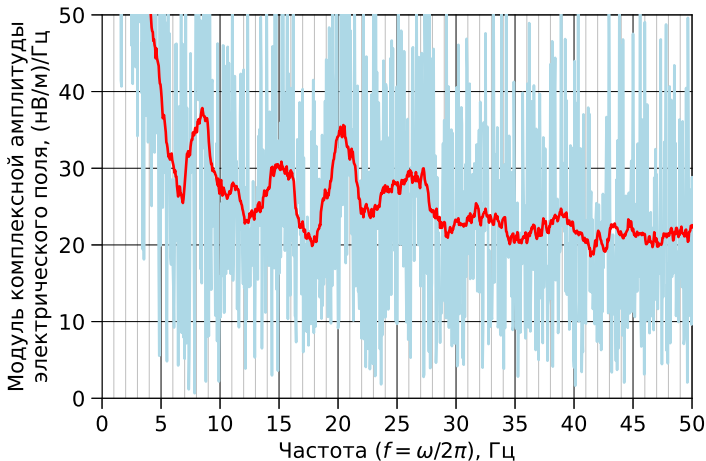


- ▶ Проводимость:

$$\sigma(r) = \sigma_0 \exp\left(\frac{r - R_0}{D}\right)$$

- ▶ Источники: молниевые разряды по данным WWLLN за 18:00–18:30 UTC 1 июля 2020 года
- ▶ Точка наблюдения: 45° с. ш., 180° в. д.

Расчёт резонансов по данным WWLLN



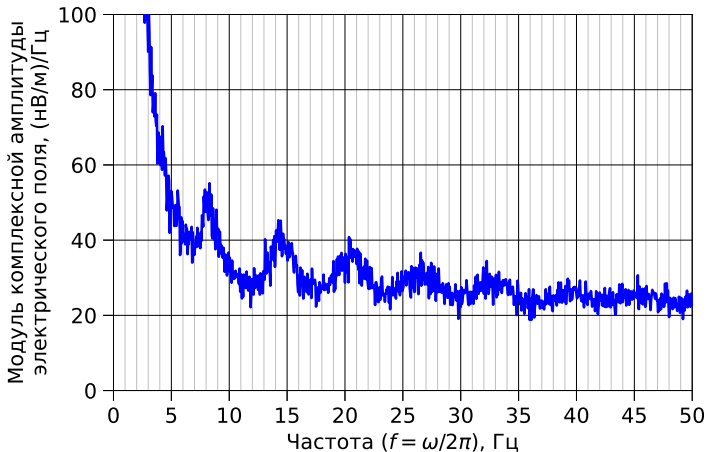
- ▶ **Проводимость:**

$$\sigma(r) = \sigma_0 \exp\left(\frac{r - R_0}{D}\right)$$

- ▶ **Источники:** молниевые разряды по данным WWLLN за 18:00–18:30 UTC 1 июля 2020 года
- ▶ **Точка наблюдения:** 45° с. ш., 180° в. д.

Видны резонансы на частотах, близких к наблюдаемым в измерениях

Среднесуточная картина резонансов



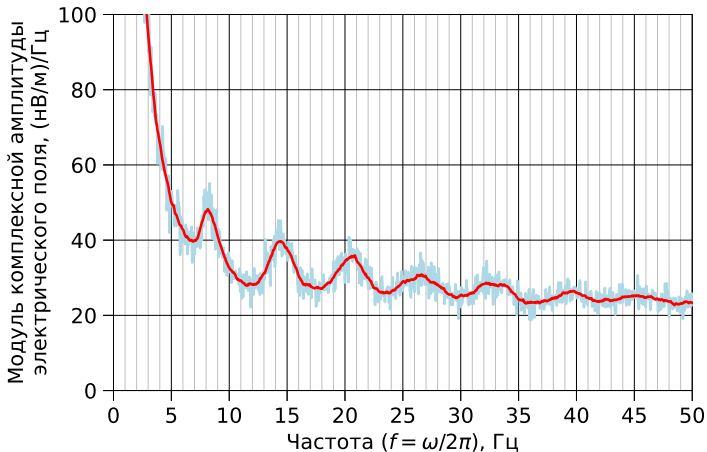
- ▶ **Проводимость:**

$$\sigma(r) = \sigma_0 \exp\left(\frac{r - R_0}{D}\right)$$

- ▶ **Источники:** молниевые разряды по данным WWLLN за последовательные 30-минутные интервалы в течение 1 июля 2020 года (48 отдельных расчётов)
- ▶ **Точка наблюдения:** 45° с. ш., 180° в. д.

При усреднении по большому количеству независимых расчётов картина резонансов становится более упорядоченной и ясной

Среднесуточная картина резонансов



- ▶ **Проводимость:**

$$\sigma(r) = \sigma_0 \exp\left(\frac{r - R_0}{D}\right)$$

- ▶ **Источники:** молниевые разряды по данным WWLLN за последовательные 30-минутные интервалы в течение 1 июля 2020 года (48 отдельных расчётов)
- ▶ **Точка наблюдения:** 45° с. ш., 180° в. д.

При усреднении по большому количеству независимых расчётов картина резонансов становится более упорядоченной и ясной

Задача №2: суточная вариация молний

На сайте (eee.ipfran.ru/sarov24) доступен архив наблюдений всемирной грозопеленгационной сети (WWLLN) за 1 июля 2022 года.

Постройте количество молний в мире за час в зависимости от времени суток (суточная вариация молниевой активности). Сравните с суточной вариацией электрического поля хорошей погоды, полученной в Задаче №1. Объясните сходство и различие вариаций, пользуясь предоставленным методическим пособием (часть 2).

Задача повышенной сложности. Используя математический аппарат ГЭЦ переменного тока (полный вывод всех уравнений предоставлен в пособии), найдите коэффициенты разложения спектра возбуждаемых единичным разрядом колебаний в ряд по сферическим гармоникам. Рассчитайте суммарный спектр от всех разрядов (их координаты доступны в файле, токи считайте равными 30 кА) по часовым интервалам. Из расчётов найдите суточный ход амплитуды и частоты первой гармоники (~ 7.8 Гц).

Сеть регистрации молний

Nizhny Novgorod Lightning Detection Network (NNLDN)

На станциях магнитные H_x , H_y
и E_z электрическая антенны

Диапазон приёма
ULF/VLF (3-30 кГц)

Частота дискретизации 8 МГц

Расчёт положения молний
не реже раза в 5 минут

1 – Нижний Новгород
(с ЦОД)

2 – Семёнов

3 – Безводное

4 – Городец

5 – Павлово

6 – Васильсурск

Nizhny Novgorod
region

50 км

Временная кластеризация пришедших сигналов



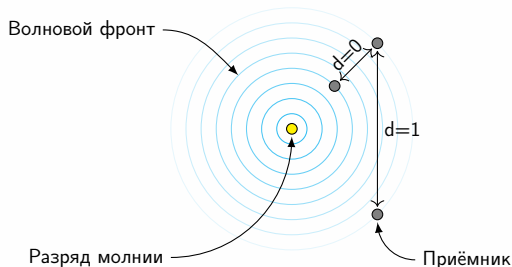
Безразмерное расстояние

$$d_{ij} = \left| \frac{|\vec{r}_i - \vec{r}_j| - |t_i - t_j|c}{|\vec{r}_i - \vec{r}_j|} \right|, \quad i \neq j,$$

где \vec{r}_j — положение j -го приёмника,

c — скорость света, t_j — время прихода.

Алгоритм DBSCAN*: $\minPts = 4$, $\varepsilon = 1.05$



*Density-based spatial clustering of applications with noise

Местоопределение разрядов молний

Время прихода сигнала:

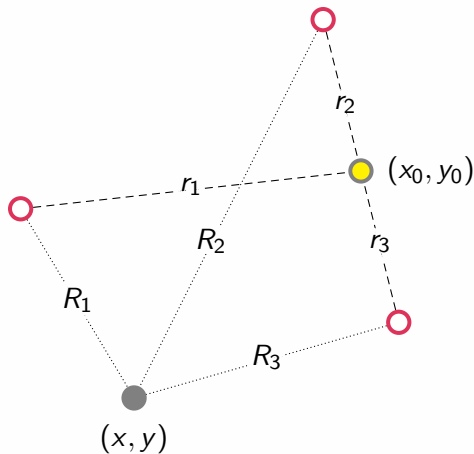
$$t_i = t_0 + \frac{r_i}{c} \Rightarrow \frac{r_i - r_j}{c} = t_i - t_j = \Delta t_{ij}$$

Известно только Δt_{ij} . Строится функция невязки

$$f(x, y) = \sum_{i=1}^N \sum_{j=i+1}^N (R_i - R_j - c\Delta t_{ij})^2,$$

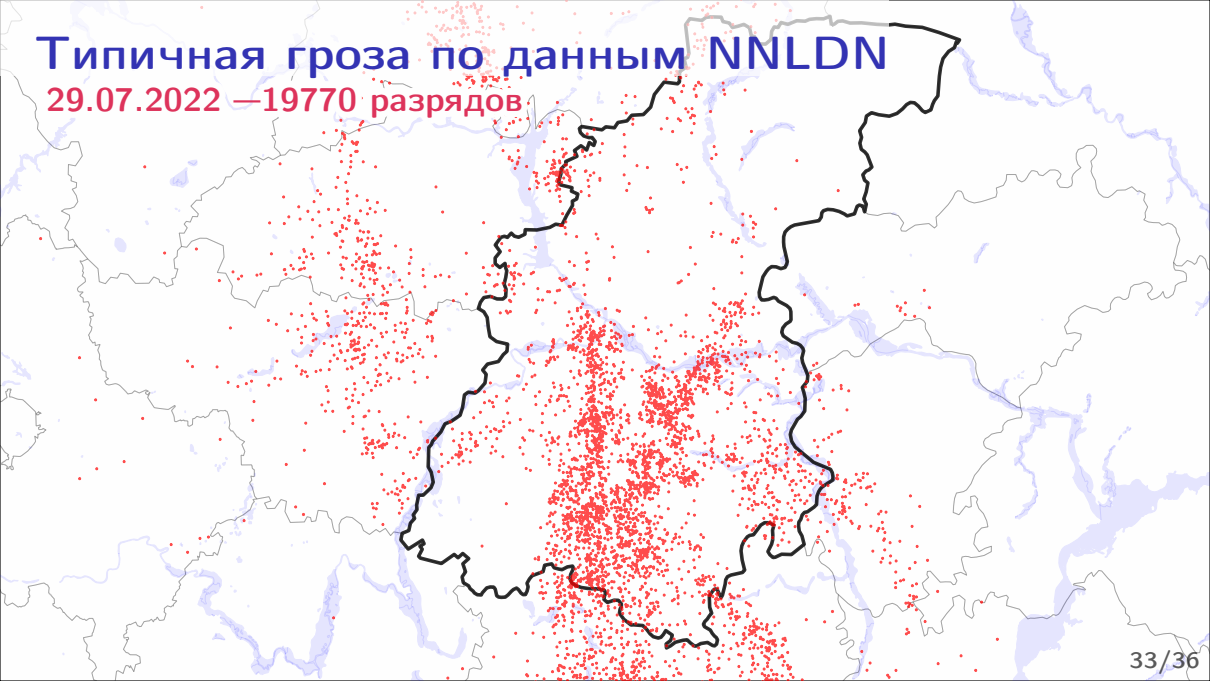
$$f(x_0, y_0) \equiv 0.$$

Метод минимизации (в нашем случае — Нелдера-Мида) позволяет найти точку разряда (x_0, y_0) .

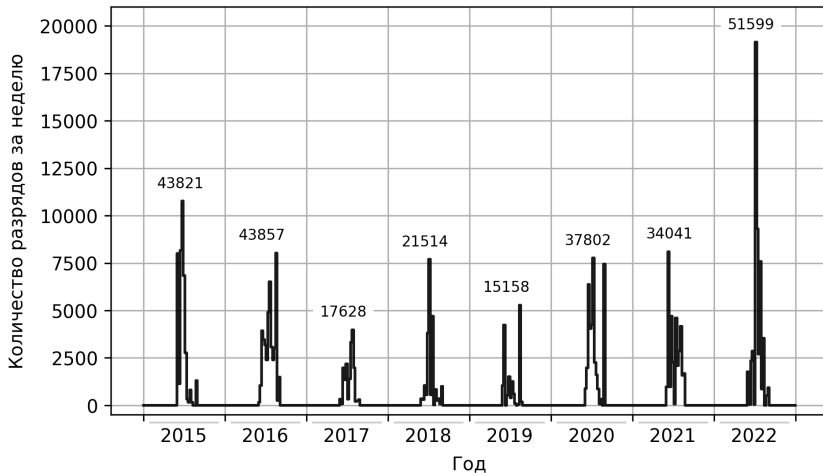


Типичная гроза по данным NNLDN

29.07.2022 — 19770 разрядов



Молниевая активность в регионе



Сплошной кривой приведены количества разрядов за неделю, подписи над максимумами обозначают количество разрядов за соответствующий год. Здесь молнии по данным WWLLN

Заключение

- 1 На базе ИПФ РАН созданы и развиваются методы численного моделирования глобальной электрической цепи как постоянного, так и переменного тока
- 2 Созданные методы позволили обнаружить достоверное воздействие ряда погодно-климатических мод на ГЭЦ постоянного тока
- 3 Развернут широкий спектр натурных измерений электрических параметров в тропосфере: электрические поля хорошей и плохой погоды, магнитные поля шумановского диапазона, региональная грозопеленгация и ряд других
- 4 Ведётся работа над созданием датчика для собственной экспериментальной кампании по регулярному измерению профиля E_z . Целью является измерение долгосрочной динамики ИП
- 5 Остается открытым для исследования большое количество прикладных вопросов теории ГЭЦ; в частности, связанных с корректной параметризацией стороннего тока, учетом не облачных источников ГЭЦ и т.д.



eee.ipfran.ru/sarov24

Спасибо
за внимание!